

## МОСТ ДЛЯ КОНТРОЛЯ МОДУЛЯ И ДОБРОТНОСТИ КОМПЛЕКСНЫХ СОПРОТИВЛЕНИЙ

М. С. РОЙТМАН

(Представлено научно-технической конференцией радиотехнического факультета)

В условиях массового контроля обычно представляет интерес не абсолютное значение измеряемой величины, а ее процентное отклонение от определенной номинальной величины, либо только установление отличия от установленного предела.

При этом наиболее целесообразно с точки зрения минимальных затрат времени применение прямопоказывающих приборов.

Ниже описывается относительно простой мост переменного тока, позволяющий проводить контроль величин отклонений модуля и аргумента проверяемого комплексного сопротивления  $Z_x$  от номинального значения  $Z$ .

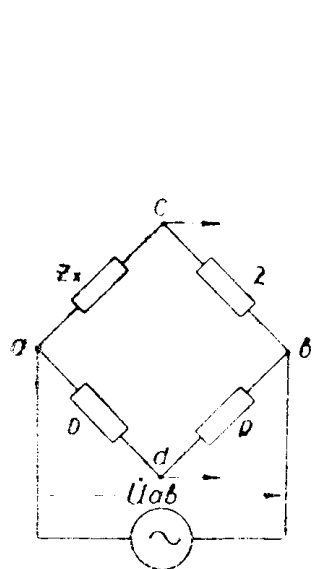


Рис. 1.

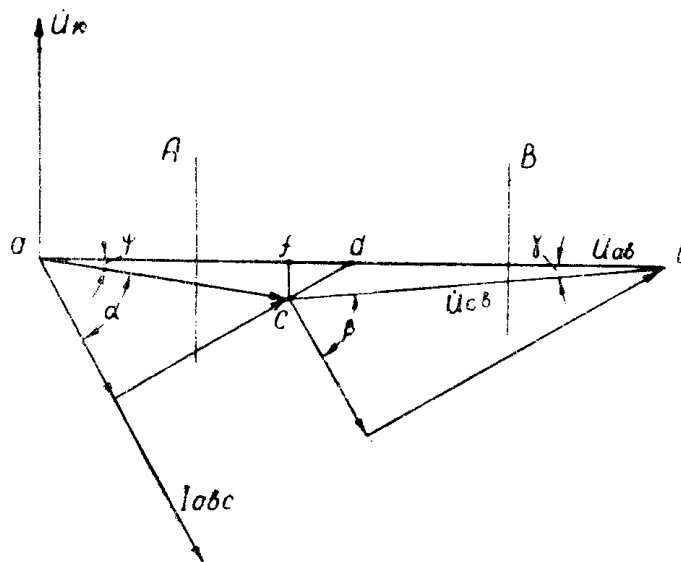


Рис. 2.

На рис. 1 приведена схема четырехлевого моста с включением проверяемого комплексного сопротивления  $Z_x$  и образцового  $Z$  в одну ветвь. Векторная диаграмма моста дана на рис. 2.

Величина  $Z_x$  может быть определена из сопоставления модулей напряжений  $U_{ac}$  и  $U_{cb}$ .

$$\frac{Z_x - Z}{Z} = \frac{\Delta Z}{Z} = \frac{U_{ac} - U_{cb}}{U_{cb}} \quad (1)$$

Если на выходе моста включен фазочувствительный указатель, вектор управляющего напряжения которого совпадает по направлению с вектором питающего мост напряжения  $\dot{U}_{ab}$ , то мы можем сравнивать проекции  $\dot{U}_{ac}$  и  $U_{cb}$  на  $\dot{U}_{ab}$ .

Вектор тока через ветвь  $abc$  сдвинут по отношению питающего мост напряжения  $U_{ab}$  на угол, определяемый сопротивлением ветви,

$$\dot{Z}_{abc} = Z_x e^{j\alpha} + Z e^{j\beta}$$

Если  $\alpha_x = \beta$ , то точка  $c$  будет находиться на прямой  $ab$ ; если же  $\alpha_x \neq \beta$ , то точка  $c$  будет выше или ниже этой прямой в зависимости от знака отклонения  $\alpha_x$  от  $\beta$ .

Следовательно, при  $\alpha \neq \beta$  контроль  $Z_x$  проводится с определенной погрешностью  $\delta_M$ . Величина  $\delta_M$  равна

$$\delta_M = \frac{(Z + \Delta Z) \cos \psi - Z \cos \gamma}{Z \cos \gamma} = \frac{(Z + \Delta Z) - Z}{Z}$$

Опуская промежуточные выкладки, вследствие их относительной громоздкости, получим

$$\delta_M \approx \frac{1}{4} \cdot \frac{\Delta Z}{Z} Q^2 \approx \frac{(Q_x - Q)^2}{4Q^4} \cdot \frac{\Delta Z}{Z} \quad (2)$$

где

$$\Theta = \psi - \lambda = \alpha - \beta \approx \frac{Q_x - Q}{Q}$$

Например, для данных  $\frac{\Delta Z}{Z} = 0,2$ ;  $\frac{Q_x - Q}{Q} = 0,4$  и  $Q = 4$   
 $\delta_M \leq 0,05\%$ .

Как видим, погрешность метода находится в допустимых пределах.

Общая погрешность сравнения  $Z_x$  с  $Z$  определяется также погрешностью измерения указателем напряжения ( $U_{ac} \cos \psi - U_{cb} \cos \gamma$ ) и нестабильностью  $U_{ab}$ .

Следовательно, контроль  $Z_x$  непосредственным измерением разностного напряжения приводит к необходимости стабилизации напряжения питания моста и применению фазочувствительного указателя с допустимой погрешностью.

Выполнение указанных требований не вызывает особых затруднений, хотя и связано с определенным усложнением схемы прибора, что само по себе уже нежелательно.

Однако, решающим является то, что при контроле  $Z_x$  вышеуказанным способом весьма затруднительно проведение контроля добротности  $Q_x$  (при  $Q > 5$ ) или малых значений аргумента.

Как уже указывалось, положение точки  $c$  будет выше или ниже прямой  $ab$  в зависимости от знака отклонения  $\alpha$  от  $\beta$ . Повернув вектор управляющего напряжения указателя на  $90^\circ$  по отношению к  $\dot{U}_{ab}$ ,

можно проводить разбраковку комплексных сопротивлений по аргументу или по добротности.

Отношение величины проекции напряжения небаланса моста определяется зависимостью ( $Z_x = Z$ )

$$\frac{\operatorname{Re} j \dot{U}_{cd}}{U_{ab}} = \frac{1}{2} \operatorname{tg} \frac{\alpha - \beta}{2} = \frac{1}{2} \operatorname{tg} \Theta / 2.$$

Изменение модуля  $Z_x$  на  $\Delta Z$  приводит к появлению погрешности в определении величины  $\Theta$

$$\delta_{\Theta} \approx \frac{1}{4} \left( \frac{\Delta Z}{Z} \right)^2.$$

Для данных  $\Theta \approx 6^\circ$ ,  $\frac{\Delta Z}{Z} = 0,2$  погрешность  $\delta_{\Theta}$  не превышает 1%.

Однако фазовая погрешность указателя  $\varphi$  приводит к погрешности проверки аргумента  $\alpha$

$$\Delta \Theta \approx \frac{\Delta Z}{Z} \varphi.$$

Минимальная же разность аргументов  $\alpha$  и  $\beta$  должна быть больше  $\Delta \Theta$ . Откуда в грубом приближении получаем

$$\alpha - \beta = \frac{Q_r - Q}{Q^2} \approx \frac{\Delta Z}{Z} \cdot \varphi.$$

Например, при  $Q = 10$ ,  $\frac{\Delta Z}{Z} = 0,3$  и  $\varphi = 3^\circ$  минимально различимое относительное изменение добротности больше 15%.

Однако если составляющую напряжения небаланса  $\operatorname{Re} \dot{U}_{cd}$  всегда сводить к малой величине, то точность контроля комплексных сопротивлений по добротности может быть резко повышена. Из рассмотрения векторной диаграммы моста (рис. 2) явственно следует, что  $\operatorname{Re} \dot{U}_{cd}$  может быть уменьшена и даже сведена к нулю перемещением точки  $d$ .

С целью „перемещения точки  $d$ “ можно применить двигатель. Но такое решение, к стати применяемое исключительно часто, обладает рядом существенных недостатков, основными из которых являются: малое быстродействие; ограниченный срок службы и малая надежность работы моста, вследствие наличия подвижных элементов; относительно большая сложность и стоимость.

Значительно лучше использовать для этой цели электрически управляемое сопротивление. В качестве последнего наиболее целесообразно применение фотосопротивления в сочетании с лампочкой накаливания.

При этом элементная схема устройства для разбраковки примет вид рис. 3.

Напряжение с выхода мостовой измерительной схемы подается на электронный усилитель 1. После усиления оно подается на фазочувствительные детекторы 2 и 5. Управляющее напряжение детектора 2 сдвинуто по отношению к вектору напряжения питания моста  $\dot{U}_{ab}$  на  $90^\circ$  фазосдвигающей цепью 3.

Управляющее напряжение детектора 5 совпадает по фазе с  $\dot{U}_{ab}$ .

Таким образом, напряжение на выходе фазочувствительного детектора 2 определяется проекцией  $\dot{U}_{cd}$  на  $\dot{U}_k$ , т. е. добротностью  $Q_x$ , а на выходе детектора 5 — проекцией  $\dot{U}_{cd}$  на  $U_{ab}$ , т. е. модулем  $Z_x$ .

Уменьшение напряжения  $Re\dot{U}_{cd}$  достигается тем, что напряжение  $\kappa Re\dot{U}_{cd}$  с выхода детектора 5 подается в цепь обратной связи 7, которая и регулирует положение точки  $d$ .

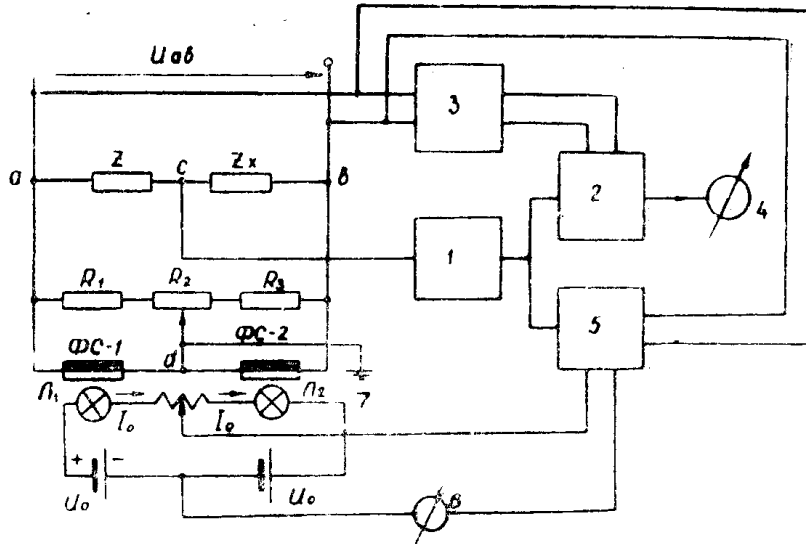


Рис. 3.

По существу мы имеем статическую систему авторегулирования положения точки  $d$ . Пусть, например,  $Z_x < Z$ . На выходе детектора 5 появится напряжение  $\kappa Re\dot{U}_{cd}$ , вызывающее в цепи 7 ток  $I_y$ . При этом через лампочку  $L_1$  будет протекать ток  $I_0 + \frac{1}{2} I_y$ , а через  $L_2$  —  $I_0 - \frac{1}{2} I_y$ . Сопротивление ФС-1 уменьшится, а ФС-2 увеличится. Точка  $d$  переместится к точке  $f$  (рис. 2). В результате проекция вектора напряжения небаланса на вектор  $\dot{U}_{ab}$  станет равной  $\frac{Re\dot{U}_{cd}}{K_{\text{сист.}}}$ , где  $K_{\text{сист.}}$  — общий коэффициент усиления системы авторегулирования.

Поскольку величина  $\frac{Re\dot{U}_{cd}}{K_{\text{сист.}}}$  может быть доведена до весьма малой величины, то точность контроля  $Q_x$  при этом практически ограничивается лишь относительной чувствительностью  $S'$  указателя.

Величина тока  $I_y$  является функцией  $\frac{\Delta Z}{Z}$ , а направление тока  $I_y$  позволяет судить о знаке отклонения модуля проверяемого комплексного сопротивления от номинального значения. Следовательно, измеряя электроизмерительным прибором 6 ток в цепи обратной связи 7, мы можем судить о величине  $Z_x$ .

Погрешность измерения  $Z_x$  равна

$$\delta_z = \sqrt{\left(\frac{Re\dot{U}_{cd}}{U_{ab}K_{\text{сист.}}} \cdot \frac{\Delta Z}{Z}\right)^2 + \left(\varphi \frac{Rej\dot{U}_{cd}}{U_{ab}}\right)^2 + \left(\delta_s \frac{\Delta Z}{Z}\right)^2 + \delta_M^2 + \delta_{\text{ФС}}^2} \approx$$

$$\approx \sqrt{\left(\varphi \frac{Q_x - Q}{4Q^2}\right)^2 + \left(\delta_6 \frac{\Delta Z}{Z}\right)^2} = \delta_{\text{М}}^2 + \delta_{\text{ФС}}^2, \quad (4)$$

где  $\varphi$  — погрешность векторного указателя по углу

$$(\varphi \approx 2 : 3);$$

$\delta_6$  — погрешность электроизмерительного прибора 6

$$(\delta_6 \approx 1,5 \%);$$

$\delta_{\text{М}}$  — погрешность метода измерения  $Z_x$ ; (2);

$\delta_{\text{ФС}}$  — погрешность от нестабильности светового потока лампочек накаливания и сопротивления ФС.

Лампочки накаливания и фотосопротивления (после предварительной тренировки в течение 200–300 часов) обладают высокой стабильностью параметров. По предварительным данным, изменения параметров лампочек накаливания СН-3 и фотосопротивлений ФС-К2Н (шунтирующие сопротивления  $R_1$  и  $R_3$  отсутствовали) за 50 часов непрерывной работы при нестабильности  $U_0$ , равной 0,1 %, приводили к напряжению небаланса  $Re\dot{U}_{cd}$ , соответствующему  $\frac{\Delta Z}{Z} = 0,1 \%$ .<sup>1)</sup>

$$\text{При } Q \gg 4, \quad \frac{Q_x - Q}{Q} = |0,4|; \quad \frac{\Delta Z}{Z} = |0,2|, \quad \delta_2 < 0,5 \%.$$

Таким образом, описанный выше относительно простой мост позволяет с высокой точностью проводить контроль добротности и модуля комплексного сопротивления.

Следует указать, что в случае необходимости регистрации отклонений модуля  $Z_x$  от  $Z$ , в качестве измерителя 6 может быть применен самопишущий миллиамперметр.

Благодаря указанным выше достоинствам и отсутствию в мосте движущихся элементов он может найти широкое применение в контрольно-измерительной технике и автоматике.

<sup>1)</sup> При необходимости контролировать малые относительные изменения  $Z_x$  от  $Z$  фотосопротивления можно шунтировать малыми сопротивлениями  $R_1$  и  $R_3$  и стабильность схемы соответственно уменьшится.